

СТРУКТУРА ВИХРЕВОЙ РЕШЕТКИ В АНИЗОТРОПНЫХ СВЕРХПРОВОДНИКАХ

Ю. Н. Овчинников*

*Max-Planck-Institute for Physics Complex Systems
D-01187, Dresden, Germany*

*Институт теоретической физики им. Л. Д. Ландау Российской академии наук
117940, Москва, Россия*

Поступила в редакцию 21 сентября 2000 г.

Исследована структура вихревой решетки в анизотропных сверхпроводниках при произвольной температуре в магнитных полях, близких к критическому. В общем случае возникает ромбоэдрическая структура с углом при вершине, зависящим от температуры, величины магнитного поля и материальных констант. Важным фактором является малая (2%) разница свободных энергий треугольной и квадратной решеток в сильном поле в приближении Гинзбурга–Ландау. Этот фактор сохраняется и в анизотропном случае.

PACS: 74.60.Ec

1. ВВЕДЕНИЕ

В изотропных сверхпроводниках второго рода переход в сверхпроводящее состояние в магнитном поле происходит как фазовый переход второго рода с образованием вихревой решетки [1]. Из симметрийных соображений ясно, что вихревая решетка может быть квадратной или треугольной. Оказывается, что вблизи температуры перехода T_c треугольная решетка с одним квантами потока в ячейке соответствует минимуму свободной энергии, а квадратная является седловой точкой [2]. Это свойство изотропных сверхпроводников сохраняется и при произвольной температуре за исключением узкой области значений физических параметров сверхпроводника, в которой переход в сверхпроводящее состояние может быть более сложным [3].

В силу численных причин разность свободных энергий для треугольной и квадратной решеток вблизи точки перехода составляет около 2-х процентов от энергии сверхпроводящего перехода [1, 2]. Поэтому представляет интерес исследовать влияние анизотропии на структуру вихревой решетки, даже если она и мала. Очевидно, что в анизотропном сверхпроводнике вихревая решетка будет ромбоэд-

рической с параметрами, зависящими от температуры и величины магнитного поля.

Ниже будет найдена зависимость параметров вихревой решетки от температуры и материальных параметров сверхпроводника. Мы рассмотрим физически наиболее интересный случай «грязного» сверхпроводника и покажем, что для определения параметров вихревой решетки необходимо учитывать следующие по длине свободного пробега электронов члены в выражении для свободной энергии. В анизотропном сверхпроводнике вклад этих поправочных членов в уравнение для угла между векторами элементарной ячейки может быть не мал.

2. СИСТЕМА УРАВНЕНИЙ ДЛЯ ФУНКЦИЙ ГРИНА В АНИЗОТРОПНОМ СВЕРХПРОВОДНИКЕ

В квазиклассическом приближении система уравнений для функций Грина в анизотропном сверхпроводнике имеет тот же вид, что и в изотропном сверхпроводнике [4–6]:

$$\left(\mathbf{v} \frac{\partial}{\partial \mathbf{r}} \right) \hat{G} + \hat{\omega} \hat{G} - \hat{G} \hat{\omega} = 0, \quad (1)$$

$$\hat{G} = \begin{pmatrix} \alpha_p & -i\beta_p \\ i\bar{\beta}_p & -\alpha_p \end{pmatrix}, \quad \hat{G}^2 = 1,$$

*E-mail: ovchin@labs.polycnrs-gre.fr; ovc@itp.ac.ru

где

$$\begin{aligned}\hat{\omega} &= \omega\tau_z - ie\mathbf{v} \cdot \mathbf{A}\tau_z - i\hat{\Delta} - \\ &- in\sum_{pp} + \frac{1}{2\tau_s} \int \frac{d\Omega_{p_1}}{4\pi} \tau_z G_{p_1} \tau_z, \quad (2) \\ \hat{\Delta} &= \begin{pmatrix} 0 & \Delta \\ -\Delta^* & 0 \end{pmatrix}, \\ \sum_{pp} &= -\frac{iv}{2} \int \sigma_{pp_1} \hat{G}_{p_1} d\Omega_{p_1}.\end{aligned}$$

В уравнениях (1)–(3) $\mathbf{v} = \partial\varepsilon_{\mathbf{p}}/\partial\mathbf{p}$ — скорость на поверхности Ферми, величина импульсов \mathbf{p}, \mathbf{p}_1 также зависит от направления. Решение системы уравнений (1) ищем в виде

$$\hat{G} = \hat{G}_0 + \hat{G}_1 + \hat{G}_2 + \hat{G}_3 + \dots \quad (4)$$

В уравнении (4) функция Грина \hat{G}_0 не зависит от углов вектора \mathbf{p} , а величины $G_{1,2,3}$ не содержат среднего значения и являются приближениями соответственно первого, второго и третьего порядков по длине свободного пробега электронов. Из формул (1)–(4) находим

$$\begin{aligned}\hat{G}_1 &= -\tau_{tr} \hat{G}_0 \mathbf{v} \cdot \mathbf{D} \hat{G}_0 \equiv \\ &\equiv -\tau_{tr} \hat{G}_0 \left\{ \left(\mathbf{v} \frac{\partial}{\partial \mathbf{r}} \right) \hat{G}_0 - ie\mathbf{v} \cdot \mathbf{A} \left(\tau_z \hat{G}_0 - \hat{G}_0 \tau_z \right) \right\}, \quad (5)\end{aligned}$$

$$\begin{aligned}\hat{G}_2 &= \tau_{tr} \tilde{\tau}_2 \hat{G}_0 \left\{ \mathbf{v} \cdot \mathbf{D} \left(\hat{G}_0 \mathbf{v} \cdot \mathbf{D} \hat{G}_0 \right) - \right. \\ &\quad \left. - \langle \mathbf{v} \cdot \mathbf{D} (\hat{G}_0 \mathbf{v} \cdot \mathbf{D} \hat{G}_0) \rangle \right\}, \\ \hat{G}_3 &= -\tau_{tr} \left\{ \hat{G}_0 \mathbf{v} \cdot \mathbf{D} \hat{G}_2 \right\}_1 - \tilde{\tau}_3 \left\{ \hat{G}_0 \mathbf{v} \cdot \mathbf{D} \hat{G}_2 \right\}_3, \\ \tau_{tr}^{-1} &= \frac{1}{\tau} - \frac{1}{\tau_1}, \quad \tilde{\tau}_2^{-1} = \frac{1}{\tau} - \frac{1}{\tau_2}, \\ \tilde{\tau}_3^{-1} &= \frac{1}{\tau} - \frac{1}{\tau_3}.\end{aligned}$$

Оператор \mathbf{D} в формулах (5) определяется верхней формулой, $\tau, \tau_1, \tau_2, \dots$ — времена столкновений для нулевой, первой, второй и т. д. гармоник [3]. При изотропном рассеянии все они, кроме нулевой, равны нулю. Символ $\{ \}_1, 3$ означает проектирование выражения в скобках соответственно на первую и третью гармоники. Подставляя выражение (5) в уравнение (1), получаем замкнутое уравнение только для функции \hat{G}_0 . Как обычно, запишем функцию \hat{G}_0 в виде

$$\hat{G}_0 = \begin{pmatrix} \alpha & -i\beta \\ i\beta^* & -\alpha \end{pmatrix}, \quad \alpha^2 + |\beta|^2 = 1. \quad (6)$$

С помощью формулы (6) уравнение для функции Грина \hat{G}_0 сводится к одному дифференциальному уравнению для функций α, β и условию нормировки (6):

$$\begin{aligned}&\alpha\Delta - \beta\omega + \frac{1}{2}\tau_{tr} \left[\alpha \left\langle (\mathbf{v}\partial_-)^2 \right\rangle \beta - \beta \left(\mathbf{v} \frac{\partial}{\partial \mathbf{r}} \right)^2 \alpha \right] + \\ &+ \frac{1}{2}\tau_{tr}^2 \tilde{\tau}_2 \left\langle (\mathbf{v}\partial_-)^2 \left[\left(\alpha(\mathbf{v}\partial_-)^2 \beta - \beta \left(\mathbf{v} \frac{\partial}{\partial \mathbf{r}} \right)^2 \alpha \right) - \right. \right. \\ &\quad \left. \left. - \left\langle \alpha(\mathbf{v}\partial_-)^2 \beta - \beta \left(\mathbf{v} \frac{\partial}{\partial \mathbf{r}} \right)^2 \alpha \right\rangle \right] + \right. \\ &\quad \left. + \left[\left(\mathbf{v} \frac{\partial \alpha}{\partial \mathbf{r}} \right)^2 + (\mathbf{v}\partial_- \beta)(\mathbf{v}\partial_+ \beta^*) \right] \times \right. \\ &\quad \times \left[\left(2\alpha(\mathbf{v}\partial_-)^2 \beta - 2\beta \left(\mathbf{v} \frac{\partial}{\partial \mathbf{r}} \right)^2 \alpha \right) - \right. \\ &\quad \left. - \left\langle \alpha(\mathbf{v}\partial_-)^2 \beta - \beta \left(\mathbf{v} \frac{\partial}{\partial \mathbf{r}} \right)^2 \alpha \right\rangle \right] - \\ &- 2 \left((\mathbf{v}\partial_- \beta)(\mathbf{v}\partial_+ \beta^*) + \left(\mathbf{v} \frac{\partial \alpha}{\partial \mathbf{r}} \right)^2 \right) \times \\ &\quad \times \left(\alpha(\mathbf{v}\partial_-)^2 \beta - \beta \left(\mathbf{v} \frac{\partial}{\partial \mathbf{r}} \right)^2 \alpha \right) - \\ &- \left\langle \left(\mathbf{v} \frac{\partial \alpha}{\partial \mathbf{r}} \right)^2 + (\mathbf{v}\partial_- \beta)(\mathbf{v}\partial_+ \beta^*) \right\rangle \times \\ &\quad \times \left(\alpha(\mathbf{v}\partial_-)^2 \beta - \beta \left(\mathbf{v} \frac{\partial}{\partial \mathbf{r}} \right)^2 \alpha \right) - \\ &- \left[2\alpha \left(\mathbf{v} \frac{\partial}{\partial \mathbf{r}} \right)^2 \alpha + \beta(\mathbf{v}\partial_+)^2 \beta^* + \beta^*(\mathbf{v}\partial_-)^2 \beta \right] \times \\ &\quad \times \left\langle \alpha(\mathbf{v}\partial_-)^2 \beta - \beta \left(\mathbf{v} \frac{\partial}{\partial \mathbf{r}} \right)^2 \alpha \right\rangle + \\ &+ \left(\alpha(\mathbf{v}\partial_- \beta) - \beta \left(\mathbf{v} \frac{\partial \alpha}{\partial \mathbf{r}} \right) \right) \left(\mathbf{v} \frac{\partial}{\partial \mathbf{r}} \right) \times \\ &\quad \times \left[\left(\mathbf{v} \frac{\partial \alpha}{\partial \mathbf{r}} \right)^2 + (\mathbf{v}\partial_- \beta)(\mathbf{v}\partial_+ \beta^*) - \right. \\ &\quad \left. - \left\langle \left(\mathbf{v} \frac{\partial \alpha}{\partial \mathbf{r}} \right)^2 + (\mathbf{v}\partial_- \beta)(\mathbf{v}\partial_+ \beta^*) \right\rangle \right] + \\ &+ \left(\alpha \left(\mathbf{v} \frac{\partial}{\partial \mathbf{r}} \right) \alpha + \beta(\mathbf{v}\partial_+)^2 \beta^* \right) (\mathbf{v}\partial_-) \left[\alpha(\mathbf{v}\partial_-)^2 \beta - \right. \\ &\quad \left. - \beta \left(\mathbf{v} \frac{\partial}{\partial \mathbf{r}} \right)^2 \alpha - \left\langle \alpha(\mathbf{v}\partial_-)^2 \beta - \beta \left(\mathbf{v} \frac{\partial}{\partial \mathbf{r}} \right)^2 \alpha \right\rangle \right] + \\ &+ \left(\alpha(\mathbf{v}\partial_-) \beta - \beta \left(\mathbf{v} \frac{\partial \alpha}{\partial \mathbf{r}} \right) \right) \left(\mathbf{v} \frac{\partial}{\partial \mathbf{r}} \right) \times \\ &\quad \times \left[\beta^* \left(\mathbf{v} \frac{\partial}{\partial \mathbf{r}} \right)^2 \beta + \alpha \left(\mathbf{v} \frac{\partial}{\partial \mathbf{r}} \right)^2 \alpha - \left\langle \alpha \left(\mathbf{v} \frac{\partial}{\partial \mathbf{r}} \right)^2 \alpha + \right. \right. \\ &\quad \left. \left. + \beta^* (\mathbf{v}\partial_-)^2 \beta \right\rangle \right] \right\rangle = \alpha\beta\Gamma, \quad (7)\end{aligned}$$

где $\Gamma = \tau_s^{-1}$, $\partial_{\pm} = \partial/\partial\mathbf{r} \pm 2ie\mathbf{A}$.

В уравнение (7) входит среднее значение от произведения двух и четырех скоростей. Введем обозначение

$$D_{ij} = \tau_{tr} \langle v_i v_j \rangle, \quad \Gamma_{ijkl} = \tau_{tr}^2 \tilde{\tau}_2 \langle v_i v_j v_k v_l \rangle. \quad (8)$$

Наша задача — получить выражение для свободной энергии с помощью уравнения (7). Вблизи

температуры перехода эта задача может быть решена при произвольном значении внешнего магнитного поля [3]. При произвольной температуре можно решить ее лишь для полей, близких к критическому. В этом случае функции Грина α, β допускают разложение по степеням параметра порядка Δ . В результате находим

$$\begin{aligned}
F_s - F_N = \nu \int d^3r \left\{ \frac{|\Delta|^2}{|\lambda|} - \right. \\
- 2\pi\tau \sum_{\omega>0} \left[\Delta^* \left(\Gamma + \omega - \frac{1}{2} D_{ij} (\partial_-^0)_i (\partial_-^0)_j - \right. \right. \\
- \frac{1}{2} \Gamma_{ijkl} (\partial_-^0)_i (\partial_-^0)_j (\partial_-^0)_k (\partial_-^0)_l + \\
+ \frac{1}{2} \tilde{\tau}_2 D_{ij} D_{kl} (\partial_-^0)_i (\partial_-^0)_j (\partial_-^0)_k (\partial_-^0)_l \left. \right]^{-1} \Delta - \\
- \frac{\omega |\Delta|^4}{4(\omega + \Gamma + \hat{\lambda})^4} - \\
- \frac{D_{ij}}{8(\omega + \Gamma + \hat{\lambda})^4} \frac{\partial |\Delta|^2}{\partial r_i} \frac{\partial |\Delta|^2}{\partial r_j} - \\
- \frac{ie(A_1)_i D_{ij}}{(\omega + \Gamma + \hat{\lambda})^2} (\Delta^* (\partial_-^0)_j \Delta - \Delta (\partial_+^0)_j \Delta^*) + \\
+ \frac{\Gamma_{ijkl}}{(\omega + \Gamma + \hat{\lambda})^4} \left(\frac{1}{8} \frac{\partial^2 |\Delta|^2}{\partial r_i \partial r_j} \frac{\partial^2 |\Delta|^2}{\partial r_k \partial r_l} - \right. \\
- \frac{1}{2} ((\partial_-^0)_i \Delta) ((\partial_-^0)_j \Delta) ((\partial_+^0)_k \Delta^*) ((\partial_+^0)_l \Delta^*) + \\
+ \frac{1}{8} \frac{\partial^2 |\Delta|^2}{\partial r_i \partial r_j} ((\partial_-^0)_k \Delta) ((\partial_+^0)_l \Delta^*) - \\
- \frac{|\Delta|^2}{4} ((\partial_-^0)_i (\partial_-^0)_j \Delta) ((\partial_+^0)_k (\partial_+^0)_l \Delta^*) \left. \right] \left. \right\} + \\
+ \frac{1}{8\pi} \int d^3r (\text{rot } \mathbf{A} - H_0)^2. \quad (9)
\end{aligned}$$

В уравнении (9) $|\lambda|$ — эффективная константа взаимодействия. Векторный потенциал A выбран в виде

$$A = A_0 + A_1 + \dots, \quad A_0 = (0, Bx, 0), \quad (10)$$

$A_{1,2,\dots}$ — ограниченные функции. Оператор $\partial_-^0 = \partial/\partial\mathbf{r} - 2ie\mathbf{A}_0$, величина $\hat{\lambda}$ есть наименьшее собственное значение оператора \hat{L} , равного

$$\begin{aligned}
\hat{L} = -\frac{1}{2} D_{ij} (\partial_-^0)_i (\partial_-^0)_j - \\
- \frac{1}{2} (\Gamma_{ijkl} - \tilde{\tau}_2 D_{ij} D_{kl}) (\partial_-^0)_i (\partial_-^0)_j (\partial_-^0)_k (\partial_-^0)_l. \quad (11)
\end{aligned}$$

3. СТРУКТУРА ВИХРЕВОЙ РЕШЕТКИ ВБЛИЗИ H_{c2}

В дальнейшем удобно перейти к главным осям тензора D_{ij} . Обозначим их через a, b, c (пока произвольно). Будем считать, что магнитное поле направлено вдоль одной из главных осей и назовем ее осью c . Запишем параметр порядка Δ в виде ряда по степеням $H_{c2} - B$:

$$\Delta = \Delta_0 + \Delta_1 + \Delta_2 + \dots \quad (12)$$

где $\Delta_1, \Delta_2, \dots$ ортогональны к Δ_0 .

В главном приближении по длине свободного пробега электронов находим

$$\begin{aligned}
\Delta_0 = \sum_N C_N \times \\
\times \exp \left\{ 2ieBNx_1y - eB \sqrt{\frac{D_b}{D_a}} (x - Nx_1)^2 \right\}. \quad (13)
\end{aligned}$$

Предположим, что модуль параметра порядка образует периодическую решетку с векторами элементарной ячейки $\mathbf{a}_{1,2}$:

$$|\Delta(r - n\mathbf{a}_1 - m\mathbf{a}_2)|^2 = |\Delta(r)|^2, \quad (14)$$

где n, m — целые числа.

Выберем векторы $\mathbf{a}_{1,2}$ в виде

$$\mathbf{a}_1 = a(\sin \varphi, \cos \varphi), \quad \mathbf{a}_2 = a(-\sin \varphi, \cos \varphi). \quad (15)$$

Предположим, что в ячейке один квант потока. Тогда из условия периодичности (14) находим

$$\begin{aligned}
eBa^2 \sin(2\varphi) = \pi, \quad a \sin \varphi = x_1, \\
C_N = C_0 \exp \left(\frac{i\pi}{2} N^2 \right). \quad (16)
\end{aligned}$$

Векторы $\mathbf{K}_{1,2}$ обратной решетки выберем в виде

$$\begin{aligned}
\mathbf{K}_1 &= \frac{2\pi}{a \sin 2\varphi} (\cos \varphi, \sin \varphi), \\
\mathbf{K}_2 &= \frac{2\pi}{a \sin 2\varphi} (\cos \varphi; -\sin \varphi).
\end{aligned} \quad (17)$$

В главном приближении по длине свободного пробега и по параметру $(H_{c2} - B)$ плотность тока j определяется выражением

$$j = -ie\nu \hat{D} 2\pi T \sum_{\omega>0} \frac{\Delta^* \partial_-^0 \Delta - \Delta \partial_+^0 \Delta^*}{(\omega + \Gamma + \hat{\lambda})^2}. \quad (18)$$

С помощью формулы (13) находим важное соотношение:

$$\text{rot}(0, 0, |\Delta|^2) = \frac{i}{\sqrt{D_a D_b}} \left\{ \hat{D} (\Delta^* \partial_- - \Delta \partial_+ \Delta^*) \right\}. \quad (19)$$

В рассматриваемой геометрии магнитное поле направлено вдоль оси z . Формула (19) позволяет найти явное выражение для поправки H_1 к магнитному полю:

$$\operatorname{rot} \mathbf{A}_1 = H_1(0, 0, 1), \quad (20)$$

$$H_1 = -4\pi e\nu \left[\frac{1}{2\pi T} \psi' \left(\frac{1}{2} + \frac{\Gamma(T) + \hat{\lambda}}{2\pi T} \right) \right] \times \\ \times \sqrt{D_a D_b} \left(|\Delta|^2 - \langle |\Delta|^2 \rangle \right),$$

где $\psi(x)$ — пси-функция Эйлера.

С учетом выражения (20) приведем формулу (9) к виду

$$\begin{aligned} \frac{F_s - F_N}{V} = & \nu \left\{ \langle |\Delta|^2 \rangle \left[-\ln \left(\frac{T_c^0}{T} \right) + \right. \right. \\ & + \psi \left(\frac{1}{2} + \frac{\Gamma(T) + \hat{\lambda}}{2\pi T} \right) - \psi(1/2) \left. \right] - \\ & - \beta_A \frac{\langle |\Delta|^2 \rangle^2}{8(2\pi T)^2} \left[\psi'' \left(\frac{1}{2} + \frac{\Gamma(T) + \hat{\lambda}}{2\pi T} \right) + \right. \\ & + \frac{\Gamma(T) + \hat{\lambda}}{6\pi T} \psi''' \left(\frac{1}{2} + \frac{\Gamma(T) + \hat{\lambda}}{2\pi T} \right) \left. \right] - \\ & - (\beta_A - 1) D_a D_b \langle |\Delta|^2 \rangle^2 \frac{e^2 \nu}{2\pi T^2} \left(\psi' \left(\frac{1}{2} + \frac{\Gamma(T) + \hat{\lambda}}{2\pi T} \right) \right)^2 \left. \right\} - \\ & - \frac{H_0 B}{4\pi} + \frac{B^2 + H_0^2}{8\pi} + \\ & + \frac{\nu}{48(2\pi T)^3} \psi''' \left(\frac{1}{2} + \frac{\Gamma(T) + \hat{\lambda}}{2\pi T} \right) D_{ij} \left\langle \frac{\partial |\Delta|^2}{\partial r_i} \frac{\partial |\Delta|^2}{\partial r_j} \right\rangle - \\ & - \frac{\nu}{6(2\pi T)^3} \psi''' \left(\frac{1}{2} + \frac{\Gamma(T) + \hat{\lambda}}{2\pi T} \right) \times \\ & \times \Gamma_{ijkl} \left\langle \frac{1}{8} \frac{\partial^2 |\Delta|^2}{\partial r_i \partial r_j} \frac{\partial^2 |\Delta|^2}{\partial r_k \partial r_l} \right\rangle - \\ & - \frac{1}{2} \left(\left(\partial_-^0 \right)_i \Delta \right) \left(\left(\partial_-^0 \right)_j \Delta \right) \left(\left(\partial_+^0 \right)_k \Delta^* \right) \left(\left(\partial_+^0 \right)_l \Delta^* \right) + \\ & + \frac{1}{8} \frac{\partial^2 |\Delta|^2}{\partial r_i \partial r_j} \left(\left(\partial_-^0 \right)_k \Delta \right) \left(\left(\partial_+^0 \right)_l \Delta^* \right) - \\ & - \frac{|\Delta|^2}{4} \left(\left(\partial_-^0 \right)_i \left(\partial_-^0 \right)_j \Delta \right) \left(\left(\partial_+^0 \right)_k \left(\partial_+^0 \right)_l \Delta^* \right). \quad (21) \end{aligned}$$

В формуле (21) величина V — объем сверхпроводника, T_c^0 — температура сверхпроводящего перехода в сверхпроводнике без параметров примесей, величина $\beta_A = \langle |\Delta|^4 \rangle / \langle |\Delta|^2 \rangle^2$ — структурная константа Абрикосова.

Для вычисления средних величин в формуле (21)

воспользуемся соотношениями

$$\begin{aligned} (\partial_-^0)_y \Delta &= i \sqrt{\frac{D_a}{D_b}} (\partial_-^0)_x \Delta, \\ |\Delta|^2 &= \sum_{N,M} C_{NM} \exp\{i(N\mathbf{K}_1 + M\mathbf{K}_2) \cdot \mathbf{r}\}, \\ \left((\partial_-^0)_x \Delta \right) \left(\partial_+^0 \right)_x \Delta^* &= \\ &= \sum_{N,M} \tilde{C}_{NM} \exp\{i(N\mathbf{K}_1 + M\mathbf{K}_2) \cdot \mathbf{r}\}, \\ \left((\partial_-^0)_x^2 \Delta \right) \left(\partial_+^0 \right)_x^2 \Delta^* &= \\ &= \sum_{N,M} A_{NM} \exp\{i(N\mathbf{K}_1 + M\mathbf{K}_2) \cdot \mathbf{r}\}. \end{aligned} \quad (22)$$

Коэффициенты $C_{NM}, \tilde{C}_{NM}, A_{NM}$ могут быть найдены с использованием (16), а также явного выражения (13) для параметра порядка Δ .

В результате находим

$$\begin{aligned} C_{NM} &= \langle |\Delta_0|^2 \rangle (-)^{M(M-N)} \exp(-\pi Q_{NM}), \\ \tilde{C}_{NM} &= \langle |\Delta_0|^2 \rangle (-)^{M(M-N)} eB \sqrt{\frac{D_b}{D_a}} \times \\ &\times [1 - 2\pi Q_{NM}] \exp(-\pi Q_{NM}), \\ A_{NM} &= \langle |\Delta_0|^2 \rangle (-)^{M(M-N)} e^2 B^2 \frac{D_b}{D_a} \times \\ &\times \left\{ 3 + 8\pi^2 \left(\frac{M^2 - N^2}{4} \right)^2 + \right. \\ &+ 4\pi^2 \left(\frac{D_b}{D_a} \left(\frac{M - N}{2} \right)^4 \operatorname{tg}^2 \varphi + \right. \\ &+ \frac{D_a}{D_b} \left(\frac{M + N}{2} \right)^4 \operatorname{ctg}^2 \varphi - \\ &- 4\pi \sqrt{\frac{D_a}{D_b}} \left(\frac{M + N}{2} \right)^2 \operatorname{ctg} \varphi - \\ &\left. \left. - 12\pi \sqrt{\frac{D_b}{D_a}} \left(\frac{M - N}{2} \right)^2 \operatorname{tg} \varphi \right\}, \end{aligned} \quad (23)$$

где

$$\begin{aligned} Q_{NM} &= \sqrt{\frac{D_b}{D_a}} \left(\frac{M - N}{2} \right)^2 \operatorname{tg} \varphi + \\ &+ \sqrt{\frac{D_a}{D_b}} \left(\frac{M + N}{2} \right)^2 \operatorname{ctg} \varphi. \end{aligned} \quad (24)$$

С учетом формул (22), (23) приведем выражение

(21) для плотности свободной энергии к окончательному виду:

$$\begin{aligned}
 \frac{F_S - F_N}{V} = & \frac{(B - H_0)^2}{8\pi} + \\
 & + \nu \left\{ -\langle |\Delta|^2 \rangle \psi' \left(\frac{1}{2} + \frac{\Gamma + \hat{\lambda}}{2\pi T} \right) \frac{\hat{\lambda}_{cr} - \hat{\lambda}}{2\pi T} - \right. \\
 & - \beta_A \frac{\langle |\Delta|^2 \rangle^2}{8(2\pi T)^2} \left[\psi'' \left(\frac{1}{2} + \frac{\Gamma(T) + \hat{\lambda}}{2\pi T} \right) + \right. \\
 & + \frac{\Gamma(T) + \hat{\lambda}}{6\pi T} \psi''' \left(\frac{1}{2} + \frac{\Gamma(T) + \hat{\lambda}}{2\pi T} \right) \left. \right] - \\
 & - (\beta_A - 1) D_a D_b \langle |\Delta|^2 \rangle^2 \frac{e^2 \nu}{2\pi T^2} \left(\psi' \left(\frac{1}{2} + \frac{\Gamma(T) + \hat{\lambda}}{2\pi T} \right) \right)^2 \left. \right\} + \\
 & + \frac{\nu \hat{\lambda} \langle |\Delta|^2 \rangle^2}{48\pi^2 T^3} \psi''' \left(\frac{1}{2} + \frac{\Gamma + \hat{\lambda}}{2\pi T} \right) S - \\
 & - \frac{\nu \langle |\Delta|^2 \rangle^2 \hat{\lambda}^2}{6(2\pi T)^3} \psi''' \left(\frac{1}{2} + \frac{\Gamma + \hat{\lambda}}{2\pi T} \right) \left\{ \left(\frac{\Gamma_{aaaa}}{D_a^2} - \frac{\Gamma_{bbbb}}{D_b^2} \right) S_1 - \right. \\
 & - \left(\frac{\Gamma_{aaaa}}{D_a^2} + \frac{\Gamma_{bbbb}}{D_b^2} - 6 \frac{\Gamma_{aabb}}{D_a D_b} \right) S_2 + \\
 & + \left. \left(\frac{\Gamma_{aaaa}}{D_a^2} + \frac{\Gamma_{bbbb}}{D_b^2} - 2 \frac{\Gamma_{aabb}}{D_a D_b} \right) S_3 \right\}, \quad (25)
 \end{aligned}$$

где

$$S = \sum_{N,M} Q_{NM} \exp(-2\pi Q_{NM}),$$

$$\beta_A = \sum_{N,M} \exp(-2\pi Q_{NM}),$$

$$\begin{aligned}
 S_1 = & \sum_{N,M} \left\{ 5\pi^2 \left(\frac{D_a}{D_b} \left(\frac{N+M}{2} \right)^4 \right) \operatorname{ctg}^2 \varphi - \right. \\
 & - \frac{D_b}{D_a} \left(\frac{M-N}{2} \right)^4 \operatorname{tg}^2 \varphi - \\
 & - \frac{3\pi}{2} \left(\sqrt{\frac{D_a}{D_b}} \left(\frac{N+M}{2} \right)^2 \operatorname{ctg} \varphi - \right. \\
 & \left. \left. - \sqrt{\frac{D_b}{D_a}} \left(\frac{M-N}{2} \right)^2 \operatorname{tg} \varphi \right) \right\} \exp(-2\pi Q_{NM}),
 \end{aligned} \quad (26)$$

$$S_2 = 8\pi^2 \sum_{N,M} \left(\frac{M^2 - N^2}{4} \right)^2 \exp(-2\pi Q_{NM}),$$

$$S_3 = 2\pi^2 \sum_{N,M} Q_{NM}^2 \exp(-2\pi Q_{NM}),$$

$$\hat{\lambda}_{cr} - \hat{\lambda} = e(H_{c2} - B) \sqrt{D_a D_b},$$

$$\hat{\lambda} = eB \sqrt{D_a D_b}.$$

В формуле (26) опускаем члены, дающие малую перенормировку коэффициентов при структурных суммах β_A и S . Все структурные константы, $\beta_A, S, S_{1,2,3}$, входящие в выражение (25) для свободной энергии и определяющие структуру вихревой

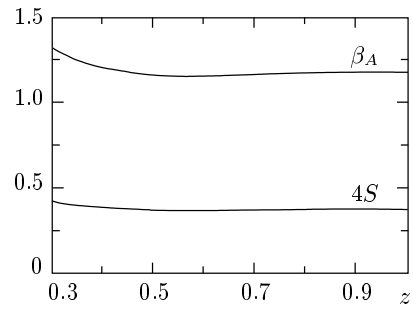


Рис. 1. Зависимость функций $\beta_A, 4S$ от параметра $z = \sqrt{D_b/D_a} \operatorname{tg} \varphi$

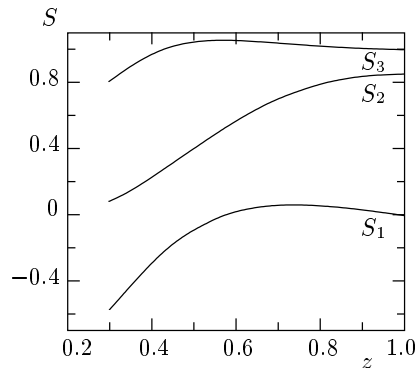


Рис. 2. Зависимость функций S_1, S_2, S_3 от параметра $z = \sqrt{D_b/D_a} \operatorname{tg} \varphi$

решетки, зависят лишь от одного параметра z , равного

$$z = \sqrt{\frac{D_b}{D_a}} \operatorname{tg} \varphi. \quad (27)$$

При этом функции β_A, S, S_2, S_3 переходят в себя при замене $z \rightarrow 1/z$, а функция S_1 меняет знак при такой замене. На рисунках 1, 2 приведены значения функций β_A, S и S_1, S_2, S_3 в интервале 0.3–1. Из соображений симметрии следует, что для структурных сумм β_A, S, S_3 точки $z = 1, z = \sqrt{3}, 1/\sqrt{3}$ являются экстремальными. В изотропном сверхпроводнике коэффициенты при суммах S_1, S_2 обращаются в нуль.

4. УРАВНЕНИЯ ДЛЯ ПАРАМЕТРОВ $\langle |\Delta|^2 \rangle, z$

Параметры $\langle |\Delta|^2 \rangle, z$ и B являются свободными в выражении (25) для свободной энергии. Их значение определяется из условия экстремума свободной энергии (25) по этим параметрам, т. е.

$$\partial \left(\frac{F_S - F_N}{V} \right) \partial \langle |\Delta|^2 \rangle = 0, \quad (28)$$

	β_A	$4S$	S_1	S_2	S_3
1	1.18034	0.375714	0	0.85416	1.001706
$1/\sqrt{3}$	1.159595	0.3691106	0	0.5281606	1.056321

$$\partial \left(\frac{F_S - F_N}{V} \right) / \partial z = 0,$$

$$\partial \left(\frac{F_S - F_N}{V} \right) / \partial B = 0.$$

Предположим, что температура настолько близка к T_c , что можно сохранить в уравнении (25) только старшие по $1 - T/T_c$ члены. В этом случае величина β_A должна быть экстремальна [1], т. е.

$$\sqrt{\frac{D_b}{D_a}} \operatorname{tg} \varphi = \{1, \sqrt{3}, 1/\sqrt{3}\}. \quad (29)$$

Точка 1 (квадратная решетка в изотропном случае) соответствует седловой точке (максимум по z). Таким образом, в этом простейшем случае реализуется ромбоэдрическая решетка с углом φ , определяемым уравнением

$$\sqrt{\frac{D_b}{D_a}} \operatorname{tg} \varphi = \{\sqrt{3}, 1/\sqrt{3}\}. \quad (30)$$

Как отмечалось выше, во всем интервале (29) величины β_A, S меняются очень медленно. По этой причине во втором уравнении (28) может стать существенным поправочный член выражения (25) свободной энергии:

$$\begin{aligned} & -\frac{\partial \beta_A}{\partial z} \left\{ \frac{1}{8} \left[\psi''(x) + \frac{x - 0.5}{3} \psi'''(x) \right] + \right. \\ & \quad \left. + 2\pi e^2 \nu D_a D_b (\psi'(x))^2 \right\} + \\ & + \frac{\partial S}{\partial z} \frac{\hat{\lambda}}{12T} \psi'''(x) - \frac{\hat{\lambda}^2}{12\pi T} \psi'''(x) \times \\ & \quad \times \left\{ \left(\frac{\Gamma_{aaaa}}{D_a^2} - \frac{\Gamma_{bbbb}}{D_b^2} \right) \frac{\partial S_1}{\partial z} - \right. \\ & \quad - \left(\frac{\Gamma_{aaaa}}{D_a^2} + \frac{\Gamma_{bbbb}}{D_b^2} - 6 \frac{\Gamma_{aabb}}{D_a^2} \right) \frac{\partial S_2}{\partial z} + \\ & \quad \left. + \left(\frac{\Gamma_{aaaa}}{D_a^2} + \frac{\Gamma_{bbbb}}{D_b^2} - 2 \frac{\Gamma_{aabb}}{D_a D_b} \right) \frac{\partial S_3}{\partial z} \right\} = 0, \quad (31) \end{aligned}$$

где $x = 1/2 + (\Gamma(T) + \hat{\lambda})/2\pi T$.

Первое из уравнений (28) не содержит численной малости. Поэтому его можно написать в главном приближении по длине свободного пробега. В результате получим

$$\begin{aligned} \langle |\Delta|^2 \rangle &= 2\pi T e(H_{c2} - B) \sqrt{D_a D_b} \psi'(x) \times \\ &\quad \times \left\{ -\frac{\beta_A}{4} \left[\psi''(x) + \frac{x - 1/2}{3} \psi'''(x) \right] - \right. \\ &\quad \left. - 4\pi(\beta_A - 1) D_a D_b e^2 \nu + \frac{\hat{\lambda}}{6T} \psi'''(x) S \right\}^{-1}. \quad (32) \end{aligned}$$

Уравнения (31), (32) определяют значение параметров z и $\langle |\Delta|^2 \rangle$ и тем самым значение свободной энергии (25). Функции β_A, S имеют максимум в точке $z = 1$ и минимум в точках $z = \{1/\sqrt{3}, \sqrt{3}\}$. Функция S_3 имеет минимум в точке $z = 1$ и максимум в точках $z = \{1/\sqrt{3}, \sqrt{3}\}$. Из уравнений (26) следует, что при $z \rightarrow 0$ функции β_A, S, S_3 пропорциональны $z^{-1/2}$. Тем самым функция S_3 имеет еще две точки минимума. Из уравнения (25) следует, что в изотропном сверхпроводнике учет поправочных членов по длине свободного пробега приводит лишь к углублению минимума, соответствующего треугольной решетке. В анизотропном сверхпроводнике точка $z = 1$, вообще говоря, не является экстремальной. Смещаются положения всех трех экстремумов. При этом снимается вырождение и один из минимумов становится только локальным минимумом. Возможно существование более чем трех решений уравнений (31).

Приведем значение функций $\beta_A, S, S_1, S_2, S_3$ в точках $\{1, 1/\sqrt{3}\}$ (см. таблицу).

5. ЗАКЛЮЧЕНИЕ

Исследована структура вихревой решетки в анизотропном сверхпроводнике при произвольной температуре в магнитных полях, близких к критическому. Если магнитное поле ориентировано вдоль одной из главных осей, то решающим фактором является анизотропия в плоскости, перпендикулярной магнитному полю. Даже слабая анизотропия может

существенно изменить угол в ромбоэдрической элементарной ячейке. Этот угол является функцией температуры, поля и материальных констант. Причина состоит в том, что в приближении Гинзбурга—Ландау в изотропных сверхпроводниках разница свободных энергий квадратной и треугольной решеток составляет только 2% от энергии сверхпроводящего перехода. В изотропных сверхпроводниках ничего существенного при понижении температуры не возникает. В анизотропных сверхпроводниках снимается вырождение, связанное с преобразованием $z \rightarrow 1/z$, и два тождественных состояния становятся различными. При этом одно из них соответствует лишь локальному минимуму, другое — основному состоянию. Эти состояния разделены барьером и переход между ними является переходом первого рода. Вполне возможно, что изменение поля может привести к переходу между этими состояниями [7]. Отметим также, что уравнение (31) для угла при вершине ромбоэдрической структуры может иметь более трех решений даже в полях близких к H_{c2} . Исследование слабых полей, $H \ll H_{c2}$, представляет большие трудности, поскольку в главном приближении энергия зависит лишь от плотности вихрей [2]. В этой связи упрощенный подход с нелокальным обобщением лондоновского приближения [8] нам представляется недостаточным. Он противоречит экспериментальным данным [7, 9].

Автор выражает благодарность Л. Я. Винникову за обсуждение результатов. Работа выполнена при финансовой поддержке CRDF (США) (грант № RP1-2251), а также Российского фонда фундаментальных исследований.

ЛИТЕРАТУРА

1. А. А. Абрикосов, ЖЭТФ **32**, 1442 (1957).
2. P. G. de Gennes, *Superconductivity of Metals and Alloys*, W. A. Benjamin, INC, New York-Amsterdam (1966).
3. Ю. Н. Овчинников, ЖЭТФ **115**, 726 (1999).
4. G. Eilenberger, J. Phys. **214**, 195 (1968).
5. А. И. Ларкин, Ю. Н. Овчинников, ЖЭТФ **55**, 2262 (1968).
6. Yu. N. Ovchinnikov and E. H. Brandt, Phys. Stat. Sol. (b) **67**, 301 (1975).
7. M. R. Eskildsen et al., Physica B **284-288** (2000).
8. V. G. Kogan et al., Phys. Rev. B **55**, R8693 (1997).
9. L. Ya. Vinnikov et al., Physica B **284-288**, 813 (2000).